

株神戸製鋼所 正員 ○中村寛市

" " 仄中邦汎

" " 新家徹

1 まえがき 吊橋供用時における主ケーブルは、バンドとラッピングワイヤで綴付けられており、索線相互の自由な滑動が拘束された状態にある。したがって、ケーブル系の変形により、ケーブル断面には不均一応力(2次応力)が発生する。筆者等は、これまで、バンドのみあるいはラッピングワイヤのみで綴付けられた平行線ケーブルの2次応力の発生機構およびその特性を明らかにしてきた。<sup>1)2)</sup> 吊橋供用時を対象とした後者になると、太径のケーブルでは、主ケーブル内部に生じる素線間すりの領域は非常に長く、通常、バンド綴付部に達しているものと考えられる。ここでは、ラッピングワイヤで綴付けられた平行線ケーブルの2次応力解析理論<sup>3)</sup>を基礎として、更にバンドで綴付けられている場合の2次応力解析を行ない、その結果をバンドを無視した場合の結果と比較して、バンドが2次応力に与える影響の一端を明らかにした。

2 理論の概要 バンド綴付部のケーブルは非常に強く綴付けられており、この部分では素線間のすべりはほぼ完全に拘束されているものと考えられる。したがって、バンド綴付部分は、解析上、軸方向剛直条件に対する境界条件を与えたものと考えられる。また、素線間のすべりがバンド部で完全に拘束される場合にはすべりによつて生じた各断面の軸力によりバンド綴付部分が回転せられ、あたかも、ケーブルパネルの両端断面を強制的に回転させたかのような現象を呈する。(バンドだけで綴付けられた補剛桁設段階のケーブルにおいてこの現象は顕著である。)したがって、すべり境界曲線 $\delta(x)$ は、ラッピングワイヤだけで綴付けられた場合とは異なり、Fig-1に示すように、すべりが両端面から発生危険しかかるよう左様相を呈する場合も考えられる。ここでは、Fig-1に示すような素線間すりの状態に対して誘導した解析基礎式を示す。記号の意味は文献6)参照。また、数個のバンドを含む数パネルにわたるケーブルの2次応力解析手順について説明する。この際、吊橋全体系の変形は従来の慣用設計法で算定されるものとし、塔頂に隣接した数パネルのケーブルより構成される部分系に剛体回転を取り除いた変形を与えてはいるが、本計算の前後でバンドとランガーケーブルの交点の座標は変化しないものとする。

### 2-1 仮定 バンドの取扱いに関する仮定を挙げる。

i) バンド綴付部はバンドと一体であり、変形の前後で断面の平面保持則を満足する。

ii) バンドとランガーケーブルの結合はピン結合である。

### 2-2 すべり解析基礎式 仮定i)の追加により、Fig-1

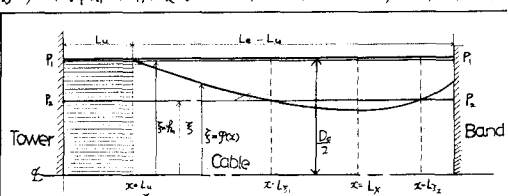


Fig-1 すべり境界曲線と座標

に示したすべり境界曲線 $\delta(x)$ に関する次の基礎式が得られる。但し、 $a: L_u < x \leq L_x$ ,  $b: L_x < x \leq L_e$

$$a. \left(\frac{d}{dx} + X'\right)\left(a_0^*(x, \varphi) - a_0^*(x, \theta)\right) = S_a^* A_a^* b_a^* C_a^* + E_a^* Y_a''(\varphi - \theta_a) + F_a(\varphi) + \{E_a^* Y_a'' - EX_a^* Y_a'(\varphi - \theta_a) + \frac{X_a^2}{2} \frac{L_a^2}{X_a^2} F_a(\varphi)\} \frac{d\varphi}{dx} = 0. \quad \text{但し, } F_a(\varphi) = S_a^* b_a^* \frac{d}{dx} [B_a^* G_a(\varphi)],$$

$$b. \left(\frac{d}{dx} + \frac{1}{X_e - L_e}\right)\left(a_0^*(x, \varphi) - a_0^*(x, \theta)\right) = S_b^* A_b^* b_b^* C_b^* + E_b^* Y_b''(\varphi - \theta_b) + F_b(\varphi) + \{E_b^* Y_b'' - E(X - L_e)Y_b'(\varphi - \theta_b) + \frac{1}{2}(X - L_e)F_b(\varphi)\} \frac{d\varphi}{dx} = 0$$

### 2-3 2次応力式 簡易すべり層応力 $\sigma_s^*(x, \varphi)$ に対する式は文献6)と変わらないので省略する。

a. Fig-1において、ケーブルの重心からだけ離れた $P_2 - P_1$ 上のすべり層の応力 $\sigma_s^*(x, \varphi)$ は次の様に表わされる。

$$a-1. \sigma_s^*(x, \varphi) = L_{\varphi}^{-1} \left[ L_u a_0^*(x, \theta_a) + \int_{L_u}^{L_x} a_0^*(x, \theta_a) dx - E(Y_a'(L_x) - \theta_a)(\theta_a - \varphi) + \frac{1}{2}(L_x - L_u)^2 F_a(\varphi) \right] - (X - L_x) F_a(\varphi), \quad \text{for } L_u < x \leq L_x \leq L_e,$$

$$a-2. \sigma_s^*(x, \varphi) = (L_e - L_x)^{-1} \left[ -L_u a_0^*(x, \theta_b) + E(Y_b'(L_x) - \theta_b)(\theta_b - \varphi) + \int_{L_x}^{L_e} a_0^*(x, \theta_b) dx - \frac{1}{2}(L_x - L_e)^2 F_b(\varphi) \right] - (X - L_e) F_b(\varphi), \quad \text{for } L_x < L_x \leq x \leq L_e.$$

b. Fig-1において、パネル全域に亘ってすべり層、すなはち $0 < x \leq L_x$ における応力は、

$$\alpha f_s(x, \bar{x}) = E L_c^2 (\theta_e - \theta_o) \bar{x} + \frac{(L_c - L_o)^2}{2 L_c} F(\bar{x}) - (x - L_o) F(x), \text{ for } L_o < x < L_c.$$

と表わされる。右辺第1項は両端断面の回転角差によつて生じる応力であり、補剛桁架設時のバンドのみで繰付けされたケーブルのパネルモーメントを構成する応力成分と一致する。右辺第2項は素線間にすべりせん断抵抗による応力である。

### 2-3. 構造解析基礎式 文献b)と同一の式が成立する。

#### 2-4. バンドを有するケーブルの2次応力解析手順 文献b)

文献b)の単パネルのケーブルに廻す2次応力解析手法を応用したバンドとラッピングワイヤで繰付けられたケーブルの2次応力解析手順について述べる。Fig-2は、この手順を図示したものである。図中、Modelとは、端頭近傍のケーブルIVとバンドおよびランガーケーブルがある部分系を仮定しに基いてモデル化したものである。この解析手順の目的は、このModelにて左端断面に、オ1パネルと端頭支持断面との成す角の変化量を強制回転角として与えた場合に生じるオ1パネルの2次応力解析である。この場合、オ2パネル以後のケーブルはオ1バンドの右端に取り付けられた非線型回転ばねと考えることはできる。

Fig-2において、Step-1は素線間にすべりを生じていないケーブルIIスル全体の換算回転ばねの剛性を求める操作、Step-2はすべりの生じたパネルも含むオ2パネル以後のケーブルの換算回転ばね剛性を求める操作である。Step-3は、Step-2で最終的に求められた換算回転ばねに支承されたオ1パネルの2次応力を求める操作である。このとき、オ1バンドの回転角 $\theta_b$ も同時に求まるので、必要があればオ2パネルの2次応力を、更にはオ3パネル以後の2パネルの2次応力を求めることが可能である。Fig-2中、これはオ1パネルの2次応力を精度良く解析するために必要なパネル数、nはすべり領域の先端のあるパネルの番号である。通常の長大吊橋では、すべりの生じるパネルはオ3パネルまでと考えて良く、n=5, m=3で充分である。

3. 計算例 上記の手法を用いて、バンドとラッピングワイヤで繰付けられたケーブルの2次応力解析を行ない、バンドの取付け位置が2次応力に与える影響を調べた。結果をFig-3に示す。図中に

比較のため、バンドが無い場合とアーラップト区間を除いて素線間にすべりが生じないとした場合の計算結果を併記した。Fig-3は、変形が大きくなるほど連続、またバンドの取付け位置が塔頂断面に近づくに連れて、バンドの2次応力に与える影響が急速に増加することを示している。Fig-4はFig-3のケーブルのオ2パネル以後のケーブルの換算回転ばねの剛性を求めたものであり、Fig-3の $M_1 = f'(\theta_b)$ に相当する。本計算で実際に使用したnの範囲は高々  $\frac{5.5}{10.5} \text{ rad}$  であり、この範囲では3者共に水程剛性の相異は見られない。したがって、オ2パネル以後のバンド全体、オ1パネルの2次応力に水程影響を与えない。

参考文献) 1) 土木学会編又題集 第20回講演会論文集 15-1990年4月  
2) 1990年冬季開催標準規格 第29回PP.389~390  
3) 同上, 第29回PP.391~392  
4) 同上, 第30回PP.427~428  
5) 同上, 第30回PP.425~426  
6) 同上, 第31回PP.131~132  
7) 同上, 第32回PP.253~254

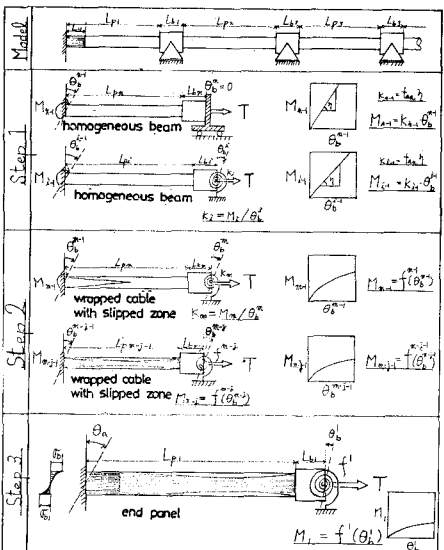


Fig-2 バンドを考慮した2次応力解析手順

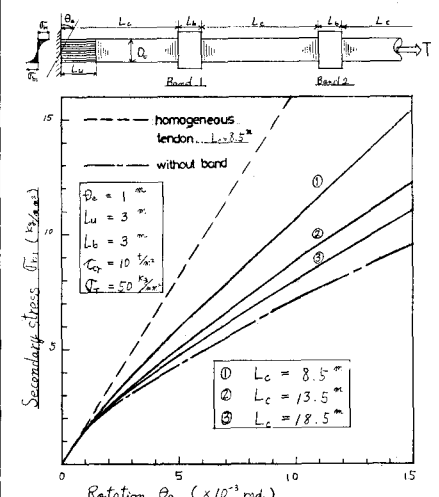


Fig-3 バンドの位置と2次応力の関係

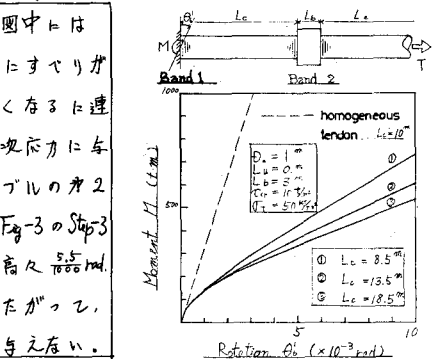


Fig-4 Band 1右端の回転ばね剛性